

ساخت پلی اتیلن بوردار به منظور حفاظ نوترون سریع

مجید زارع زاده^{۱*}، جواد رحیقی^۱، حسین قدس^۱، جعفر قیصری^۲، محمد علی شفایی^۲، غضنفر میرجلیلی^۲

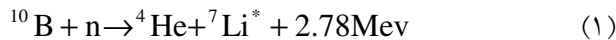
چکیده

حفظ نوترون در برابر پرتو نوترون یکی از مسائل مهم در آزمایشگاههای است که از چشمeh های نوترونی استفاده می شود. محافظت بویسله پلیمرهایی که با عناصر جاذب نوترون آمیخته شده باشند امروزه کاربرد زیادی پیدا کرده است. ایزوتوپ پُر^۳ یکی از مفیدترین عناصر در جذب نوترونهای حرارتی است. در این تحقیق از ایزوتوپ پُر موجود در اسید بوریک $B(OH)_3$ استفاده شده است و درصد های وزنی مختلف مورد شیوه سازی (توسط کد MCNP4C) و آزمایش قرار گرفت. نتایج در شبیه سازی و آزمایش مخلوط ۱۵٪ وزنی اسید بوریک و پلی اتیلن را به عنوان بهترین جذب و کند کننده نوترون چشمeh Cf^{252} نشان داد.

واژه‌های کلیدی: پُر، پلیمر، چشمeh Cf^{252} ، کد MCNP4C، محافظ نوترون

مقدمه

نوترون ذره‌ای است که در صنعت و پزشکی موارد استفاده زیادی دارد. راکتورها، مراکز پرتو پزشکی، آنالیز مواد توسط فعالسواری نوترونی^۱ و موارد دیگر. با توجه به این مطلب محافظت افراد این مراکز در برابر پرتو نوترون امری لازم و ضروری است که توسط مواد و مصالح مختلف صورت می گیرد. از مواد هیدروژن دار به منظور کند کردن نوترونهای سریع استفاده می شود. برای جذب نوترون از عناصری مانند کادمیم، لیتیم، بُر استفاده می شود. ایزوتوپ بُر، به دلیل سطح مقطع جذب نوترون بالایی که دارد یکی از مفیدترین مواد در جذب نوترون است. سطح مقطع جذب آن برای نوترون از ۲۴۵۰ تا ۷۵۹ بارن است. پس از برخورد نوترون به بُر واکنش (۱) رخ می دهد



^۱ گروه فیزیک نوترون سازمان انرژی اتمی تهران

^۲ دانشگاه یزد

یزد، صفائیه، شهرک دانشگاه، دانشگاه یزد، پردیس غربی، مجتمع علوم، دانشکده فیزیک تلفن ۰۳۵۱-۸۲۱۰۲۵۰

۰۹۱۷۳۶۷۰۶۱۰

Email: majid_zarezadeh_nu@yahoo.com

هسته اتم لیتیم در حالت برانگیخته است و با تابش γ به حالت پایه می‌رود که این ذره گاما می‌باید توسط موادچگال مانند سرب که بعد از حفاظ نوترونی قرار می‌گیرند جذب شود. با ساخت مواد پلیمری که درصد وزنی بسیار بالایی هیدروژن دارد می‌توان موادی ساخت که ضریب جذب نوترونی بالایی داشته باشند. مشابه این کار با موادی همچون LiF ¹ و B_3C ² و پلی اتیلن در دانشگاه کیوتوزاپن با نوترونهای حرارتی، فوق حرارتی و سریع مورد آزمایش قرار گرفته است [1]. همچنین در تحقیق دیگری از پلی و نیل استات¹ و پلی و نیل الكل² برای بررسی کاهش شار و انرژی نوترون استفاده شده است [3] و نمونه‌های دیگری که با پلیمر و مواد جاذب نوترون صورت گرفته در این تحقیق نیز از مخلوط اسید بوریک₃ (OH)B و پلی اتیلن استفاده شده است. به کمک کد MCNP4C شبیه سازی بلوک‌های ساخته شده از مخلوط اسید بوریک با درصد های وزنی ۷٪، ۱۵٪، ۲۵٪ و ۳۵٪ و پلی اتیلن با ضخامت‌های مختلف انجام گرفت و این شبیه سازی ۱۵٪ وزنی را بهینه درصد وزنی اسید بوریک برای این بلوک‌های پلیمری نشان داد. بعد از شبیه سازی این بلوک‌ها توسط کد به ساخت آنها با توجه به نتایج کد پرداخته شد و توسط چشم نوترون Cf^{252} موجود در گروه فیزیک نوترون سازمان انرژی اتمی تهران مورد آزمایش قرار گرفت. مطلب مهم در این تحقیق این بود که مخلوط ۱۵٪ وزنی اسید بوریک با ضخامت ۱/۲ سانتی متر که با ضخامت‌های موجود در مراجع یکسان بود شار نوترون چشم Cf^{252} را به نصف مقدار اولیه رساند.

روش کار

بعد از انجام محاسبات شبیه سازی توسط کد MCNP4C ساخت بلوک‌های پلیمری با توجه به نتایج محاسبه صورت گرفت. برای این منظور از پلی اتیلن سنگین با چگالی 0.85 gr/cm^3 و اسید بوریک استفاده شد. با توجه به نتایج تجربی قبل که نشان داده بود اسید بوریک حین آمیخته و سرد شدن در بلوک‌های پلیمری نشین می‌شود این لایه‌ها در ضخامت ۲mm ساخته شدند تا از ته نشین شدن اسید بوریک در نمونه جلوگیری شود. ابعاد این لایه ها $10\text{ cm} \times 15\text{ cm} \times 2\text{ mm}$ است.

ساخت در سه مرحله اصلی صورت گرفت که به ترتیب

۱- ذوب کردن پلی اتیلن و مخلوط کردن اسید بوریک با آن

۲- سرد کردن و خمیری شکل کردن مخلوط

۳- دوباره گرم کردن و تحت فشار قرار دادن در چند مرحله

¹ Poly vinyl acetate

² Poly vinyl alcohol



انجمن هسته‌ای ایران

اصفهان، دانشگاه اصفهان، ۱۶ و ۱۷ اسفندماه ۱۳۸۵



دانشگاه اصفهان

زمان(دقیقه)	مراحل انجام کار
۲۰	ذوب و مخلوط کردن نمونه
۶۰	سرد و خمیری شکل کردن نمونه
۱۵	دوباره گرم و تحت فشار قرار دادن

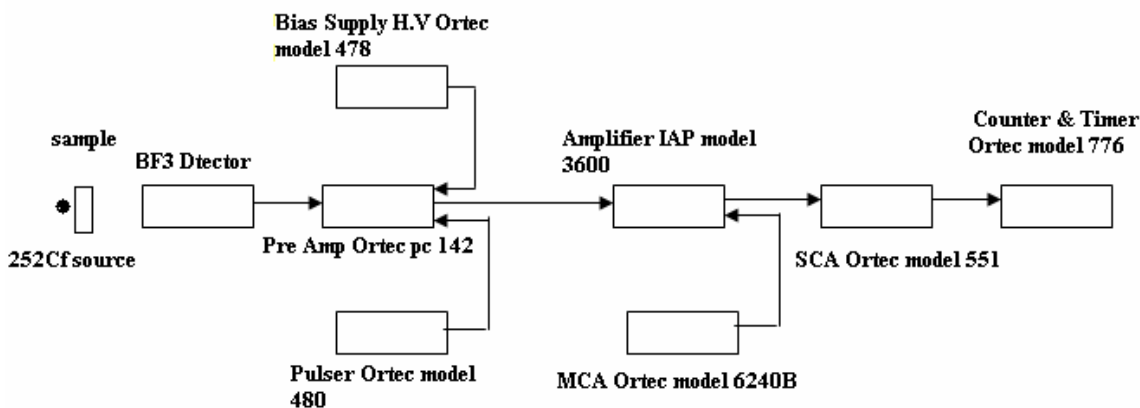
جدول ۱-مراحل کلی ساخت پلیمر و زمان آن

مرحله سوم یعنی دوباره گرم شدن و تحت فشار قرار دادن ، خود شامل پنج مرحله جداگانه است که به منظور شکل گیری بهینه پلیمر بعد از چند بار آزمایش بهترین مراحل انتخاب و برای همه لایه های پلیمری مورد استفاده قرار گرفت. مراحل این کارها در جدول ۲ آورده شده است.

فشار(بار)	زمان(ثانیه)	دما(سانتی گراد)	مرحله
۱۰	۵۰	۱۲۰	۱
۲۰	۶۵	۱۸۰	۲
۲۵	۱۰۰	۱۸۰	۳
۱۵	۱۴۰	۱۸۰	۴
۰	۱۲۰	۲۰	۵

جدول ۲-مراحل بازپخت و فشار نمونه ها

این نکته قابل ذکر است که دمای 180°C درجه سانتی گراد دمای ذوب پلی اتیلن سنگین است و در مرحله پنجم نیز مرحله شکل گیری نهایی و سرد شدن نمونه و تشکیل شبکه های پلیمری می باشد. بعد از ساخت نمونه های ارزای آزمایش جذب نوترون در این مواد از چشمee Cf^{252} با قدرت $1.5 \times 10^6 \text{Bq}$ استفاده شد و با توجه به مرجع موجود در زمینه الکترونیک آزمایش [3]، الکترونیک شکل ۱ مورد استفاده قرار گرفت



شکل ۱-الکترونیک مورد استفاده برای انجام آزمایش

به منظور موازی کردن پرتو نوترون چشم ماده Cf^{252} ¹ را درون موازی ساز² که به شکل استوانه‌ای از فلز کادمیم و پارافین ساخته شده بود قرار گرفت همچنین برای کاهش نوترونهای پس زمینه و شمرده نشدن آن توسط آشکار سازگاری تناسبی BF_3 ³ این آشکار ساز درون محافظتی که از داخل به خارج سرب، کادمیم و پلی اتیلن بود قرار گرفت و تنها قسمتی روپرتوی چشم ماده بازگذاشته شدکه نوترونهایی که از روپرتو می‌آیند شمرده شوند. چشم ماده Cf^{252} دارای یک طیف انرژی از 0.3MeV تا 12MeV می‌باشد که یک قله حول انرژی 2MeV دارد و با توجه به این انرژی، محاسبات برای اندازه گیری لایه نصف مقدار⁴ استفاده شده است. البته این چشم ماده طیف گاماها ای در بازه انرژی KeV نیز دارد که بعد از مشاهده کل طیف روی دستگاه MCA⁵ ناحیه جدا شده طیف گاما و نوترون، توسط مولد پالس⁶ این نقطه پیدا شده و به کمک دستگاه SCA از این کanal به بعد شمارش انجام شدت‌ابدین وسیله تنها شمارش ذرات نوترون صورت گیرد. برای تحقیق درباره اثر پیر شدگی پلیمر این آزمایش در چند فاصله زمانی مورد تکرار شده نتایج تا حد قابل قبولی یکسان بود و می‌توان گفت در مقطع چند ماه پرتودهی این پلیمر توسط نوترون تاثیری در کیفیت آن ندارد. با اینکه آشکار ساز BF_3 نسبت به پرتو گاما حساسیت چندانی ندارد اما ممکن بود گاماها حاصل از واکنش (n,γ) در شمارش تاثیر بگذارند، بعد از محاسبه توسط کد MCNP4C یک لایه 0.5cm سرب بعد از نمونه هاقرار گرفت طوری که هم گاماها را جذب و تضعیف کند و هم در شمارش نوترونها تاثیر نداشته باشد. آزمایش نشان دادکه این لایه سرب تنها باعث کاهش 24% درصد در شمارش نوترونها می‌شود که مقداری قابل چشمپوشی بود.

¹ Collimator

² Half Value Layer (HVL)

³ Multi Channel Analyzer

⁴ Pulser

⁵ Single Channel Analyzer

⁶ Aging



انجمن هسته‌ای ایران

کمپاریس

۰۰۰
۰۰۰
۰۰۰



دانشگاه اصفهان

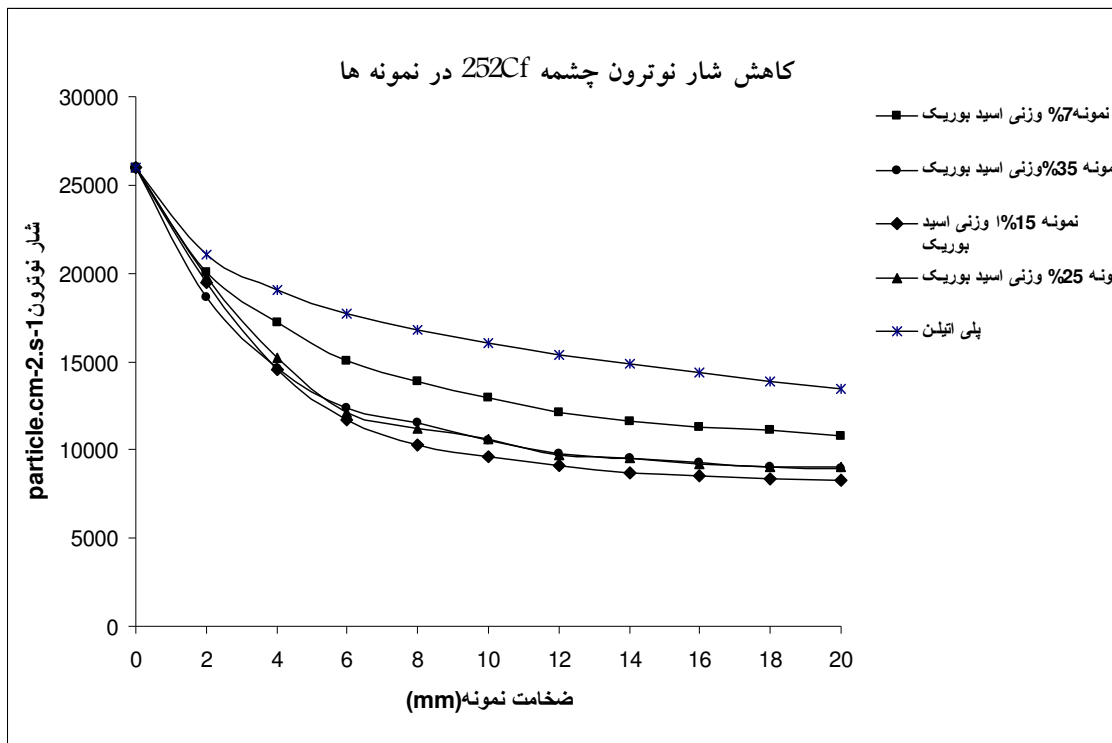
اصفهان، دانشگاه اصفهان، ۱۶ و ۱۷ اسفندماه ۱۳۸۵

نتایج

بعد از اندازه گیریهای انجام شده و تکرار آزمایش در چندین مرحله به منظور کاهش خطاء نمودار مربوط به کاهش شار نوترون بر حسب تغییر ضخامت بدست آمد. با توجه به اندازه گیری های انجام شده با میانگین انرژی 2MeV نتایج مربوط به HVL و چگالی مربوطه در جدول شماره ۳ آورده شده است.

HVL(cm) شبیه سازی	HVL(cm) آزمایش	چگالی gr/cm ³	نوع نمونه
۰.۲۴	۰.۲۶	۰.۲۷۰	پلی اتیلن
۰.۲۷	۰.۲۸	۰.۲۷۰	مخلوط پلی اتیلن و ۷٪ وزنی اسید بوریک
۰.۲۹	۰.۳۰	۰.۲۷۴	مخلوط پلی اتیلن و ۱۵٪ وزنی اسید بوریک
۰.۳۱	۰.۳۱	۰.۲۷۰	مخلوط پلی اتیلن و ۲۵٪ وزنی اسید بوریک
۰.۳۴	۰.۳۱	۰.۲۷۰	مخلوط پلی اتیلن و ۳۵٪ وزنی اسید بوریک

جدول ۳- چگالی نمونه ها و مقدار HVL برای هر نمونه



شکل ۲-نمودار مربوط به کاهش شار نوترون در نمونه‌ها با درصد های مختلف

بحث و نتیجه گیری:

این نکته رامی باید مد نظر داشت که مقدار HVL به انرژی نوترونهای بستگی دارد زیرا میزان هیدروژن موجود در ماده است که در ابتدا باعث کند شدن نوترونهای سپس جذب آنها توسط بر می شود و با توجه به این نکته می توان گفت به منظور کاهش شار نوترونهای پرانرژی می باید از نمونه هایی بادر صدوzenی کمتر اسید بوریک و یا نمونه هایی که در ابتدا لایه های پلی اتیلن به منظور کند کردن نوترونهای سپس نمونه مخلوط های پلی اتیلن و اسید بوریک به منظور جذب نوترونهای مورد استفاده قرار گیرد. شبیه سازی این محافظ نوترونی برای نوترونهای 14 MeV توسط نویسندها MCNP4C در حال انجام است.

سپاسگزاری:

در انتهای جا دارد از همکاری صمیمانه کارکنان و مهندسان مرکز فیزیک نوترون سازمان انرژی اتمی تهران به ویژه خانم مهندس کاشیان که در تمام مراحل انجام این پروژه همکاری صمیمانه ای با نویسندها داشتند تشکر و قدردانی نماییم.

مراجع:



انجمن هسته‌ای ایران



۱۳۸۵

اصفهان، دانشگاه اصفهان، ۱۶ و ۱۷ اسفندماه



دانشگاه اصفهان

- [1] *Development of neutron shielding material using metathesis-polymer matrix Y.Sakurai ,A.Sasaki ,T.Kobayashi Nuclear Instrument s and Method in Physics Research A 522(2004) 455-461*
- [2] www.thermo.com
- [3] *Application of hydrogel system for neutron attenuation , S.C Gupta ,G.L.Baheti ,B.P. Gupta Radiation Physics and Chemistry 59(2000)103-107*